

## تبارزایی و تکامل صفات ریخت‌شناسی بخشه‌های آکانتوفاسه و آگاکانتا از سرده گون (تیره باقلائیان) بر اساس توالی‌های هسته‌ای و کلروپلاستی در ایران

زهرة خلیلی<sup>۱</sup>، شاهرخ کاظم پور اوصالو<sup>۱،۳</sup> و علی اصغر معصومی<sup>۲</sup>

<sup>۱</sup>گروه علوم گیاهی، دانشکده علوم زیستی، دانشگاه تربیت مدرس، تهران، ایران؛ <sup>۲</sup>آبخش گیاه‌شناسی، موسسه تحقیقات جنگل‌ها و مراتع کشور، سازمان تحقیقات، آموزش و ترویج کشاورزی، تهران، ایران؛ <sup>۳</sup>آقطب‌تبارزایی موجودات زنده ایران، دانشگاه تهران، تهران، ایران

مسئول مکاتبات: شاهرخ کاظم پور اوصالو، skosaloo@modares.ac.ir

چکیده. روابط‌تبارزایی و تکامل صفات ریخت‌شناسی بخشه‌های *Acanthoprace* و *Aegacantha* از سرده *Astragalus* با استفاده از ترکیب داده‌های ITS و *rpl32-trnL*<sup>UAG</sup> و انتخاب گونه *Astragalus stocksii* به عنوان برون‌گروه بررسی شدند. از دستاوردهای‌تبارزایی این مطالعه تک‌نیا نبودن بخشه *Acanthoprace* در مفهوم کنونی به دلیل جدایی گونه *A. ovigerus* و ناسازگاری موقعیت این گونه در داده‌های هسته‌ای با کلروپلاستی است. بخشه *Aegacantha* نیز به دلیل موقعیت گونه *A. montis-parrowii* در فاصله دور از سایر اعضای بخشه و قرارگیری در کنار سایر گون‌های خاردار، در مفهوم کنونی تک‌نیا نیست. بازسازی ۳۲ صفت بر روی درخت‌تبارزایی ترکیبی بیزین نشان داد که برخی از صفات برای تعیین حدود آرایه‌شناسی بخشه‌های *Acanthoprace* و *Aegacantha* مفید است. تکامل صفاتی مانند وجود فشردگی در پهنک درفش، شکل نیام و داشتن نیام تک‌حجره به اندازه کافی برای جداسازی گونه *A. ovigerus* از سایر گونه‌های خویشاوند خود ارزشمند است. تکامل صفات منطبق با موقعیت‌تبارزایی دور گونه *A. montis-parrowii* از سایر گونه‌های خویشاوند خود عبارتند از: تعداد گل در گل‌آذین، وجود دم گل‌آذین، گلبرگ‌های کرک‌دار، شکل ویولونی و وجود فشردگی در پهنک درفش، تمایز ناخنک در قاعده درفش، وجود ناخنک درفش و اختلاف اندازه طول ناو و بال.

واژه‌های کلیدی. بقولات، تکامل صفات، جورنمایی، روابط‌تبارزایی، صفت مشترک پیشرفته

## Phylogeny and morphological traits evolution of *Astragalus* sects. *Acanthoprace* and *Aegacantha* in Iran on the basis of nrDNA ITS and *rpl32-trnL*<sup>UAG</sup> sequences

Zohreh Khalili<sup>1</sup>, Shahrokh Kazempour-Osaloo<sup>1,3</sup> & Ali Asghar Maassoumi<sup>2</sup>

<sup>1</sup>Department of Plant Biology, Faculty of Biological Sciences, Tarbiat Modares University, Tehran, Iran; <sup>2</sup>Department of Botany, Research Institute of Forests and Rangelands, Agricultural Research Education and Extension Organization (AREEO), Tehran, Iran; <sup>3</sup>Center of Excellence in Phylogeny of Living Organisms, University of Tehran, Tehran, Iran  
Corresponding author: Shahrokh Kazempour-Osaloo, skosaloo@modares.ac.ir

**Abstract.** In this study, phylogenetic relationships and evolutionary trends of morphological characters of *Astragalus* sects. *Acanthoprace* and *Aegacantha* were studied using nrDNA ITS and *rpl32-trnL*<sup>UAG</sup> datasets while *Astragalus stocksii* was selected as the outgroup. The phylogenetic results indicated the non-monophyly of *A.* sect. *Acanthoprace* in its current circumscription due to the distant exclusion of *A. ovigerus* from the core group, and incongruence between nuclear and plastid datasets on the basis of different position of latter species in the resulted phylogenetic trees. *Astragalus* sect. *Aegacantha* was also found to not being monophyletic due to the distant position of *A. montis-parrowii* from the other representatives of the section while accompanying with other spiny *Astragalus* species. The Optimization of 32 morphological characters on the Bayesian combined tree indicated that some characters were most useful for delimitation of taxa in sections *Acanthoprace* and *Aegacantha*. The results obtained from the evolution of characters showed that standard blade constriction, legume shape and possessing unilocular pods were of diagnostic importance for the separation of *A. ovigerus* from other species. The traced characters were in accordance with the phylogenetic

position of *A. montis-parrowii*, which was separated from other members of sect. *Aegacantha*, as the number of flowers in inflorescences, the presence of peduncle, hairy petal, pandurate standard and constriction of standard that is differentiated to claw, the presence of claw in standard and the length difference between keel and wing were different from those in other members of the sect. *Aegacantha*.

**Keywords.** Character evolution, homoplasy, leguminosae, phylogenetic relationship, synapomorphy

روابط درون‌بخش‌های بخش‌های فوق‌الذکر و بررسی روند تکامل صفات ریخت‌شناسی در آنها در چارچوب تبارشناسی مولکولی است.

## مواد و روش‌ها

### نمونه‌برداری

در مطالعه حاضر، هشت گونه از بخش *Acanthophaece* پنج گونه از بخش *Aegacantha* و شش گونه از سایر گون‌های خاردار متعلق به بخش‌های مختلف مورد مطالعه قرار گرفته است و گونه *A. stocksii* Bunge از بخش *Caraganella* بر اساس مطالعه قبلی (Amini et al., 2019) به عنوان برون‌گروه استفاده شده است (جدول ۱).

### تحلیل داده‌های تبارزایی

بر اساس توالی‌های ITS nrDNA و *rpl32-trnL*<sup>UAG</sup> (Khalili et al., 2020)، روابط تبارزایی داده‌های هسته‌ای و کلروپلاستی و ترکیب دو داده به روش استنباط بی‌زین در نرم‌افزار MrBayes 3.2.6 (Ronquist et al., 2012) با استفاده از پایگاه اینترنتی CIPRES (Miller et al., 2010) مورد تجزیه و تحلیل قرار گرفت و درخت بی‌زین حاصل از ترکیب داده‌ها انتخاب شد. درختان حاصل از هر سه مجموعه داده در شکل‌های ۱، A، B و C نشان داده شده است. مدل تکاملی TVM+G با استفاده از برنامه jModelTest (Posada, 2008) بر اساس معیار اطلاعاتی (AIC) برای داده‌های ترکیبی انتخاب شده است.

ترکیب‌پذیری داده‌های هسته‌ای و کلروپلاستی، با استفاده از آزمون اختلاف طول ناسازگار (ILD) (Faris et al., 1994) تعبیه شده در نرم‌افزار PAUP\* (Swofford, 2002) مورد ارزیابی قرار گرفت. اطلاعات مربوط به نمونه‌های بررسی‌شده در درخت بی‌زین حاصل از داده‌های ترکیبی در جدول ۱ نشان داده شده است.

### تحلیل داده‌های ریخت‌شناسی

برای درک بهتر توزیع و تکامل صفات، پس از مطالعه چندین صفت ریخت‌شناسی، ماتریسی از ۳۲ صفت ریخت‌شناسی با همان آرایه‌هایی که در مطالعه مولکولی تبارزایی مورد استفاده قرار گرفت، ایجاد شد (جدول ۳).

## مقدمه

سرده *Astragalus* L. متعلق به تیره باقلانیان (Fabaceae) با بیش از ۳۰۰۰ گونه یکی از بزرگ‌ترین و متنوع‌ترین سرده‌های گیاهان گلدار (Lock & Simpson, 1991; Maassoumi, 1998; Podlech & Zarre, 2013) و با ۸۴۰ گونه، بزرگ‌ترین سرده در ایران است (Ghahremaninejad & Joharchi, 2020). گون‌های خاردار با بیش از ۳۰۰ گونه طبقه‌بندی شده در چندین بخش، یکی از گروه‌های اصلی سرده *Astragalus* را تشکیل می‌دهند (Maassoumi, Podlech & Zarre, 2013; Podlech & Zarre, 1998). بر اساس آخرین طبقه‌بندی (Podlech & Zarre, 2013) بخش *Acanthophaece* Bunge از ۹ گونه تشکیل شده است که هفت گونه آنها بومی ایران هستند. این بخش از درختچه‌های خاردار بالشتکی شکل تشکیل شده است که دارای کرک‌های عمدتاً سفید در بخش‌های رویشی مخلوط با کرک‌های خاکستری و سیاه در گل‌آذین است. خوشه‌های آن‌ها دارای تعداد اندک تا ۱۰ گل؛ جام گل به رنگ صورتی یا مایل به آبی تا بنفش و نیام عمدتاً دوحجره‌ای است (Maassoumi, 1998; Zarre & Podlech, 2001; Podlech & Zarre, 2013).

چندین صفت ابتدایی مشترک در گونه‌های متعلق به این بخش وجود دارد مانند وجود کرک‌های صاف رویان مانند، نیام بزرگ صاف و درفشی که به‌طور مشخص به پهنک و ناخنک متمایز نیافته است (Zarre-Mobarakeh, 2000).

گونه‌های *A. hezarensis* Zarre & *A. ovigerus* Boiss. در بسیاری از مطالعات به‌عنوان اعضای بخش *Acanthophaece* در نظر گرفته شده‌اند (Zarre & Podlech, 2001; Podlech et al., 2001; Podlech & Zarre, 2013). در حالی که (Maassoumi, 2016) آنها را به دلیل داشتن نیام تک‌حجره در بخش *Lamprocarpa* Maassoumi متمایز کرده است.

بخش *Aegacantha* Bunge از ۵۶ گونه تشکیل شده است که شامل بوته‌های بالشتکی شکل خاردار با کرک‌های قاعده‌چسب سفید یا مخلوط سیاه و سفید، گل‌آذین خوشه با یک تا تعداد اندک گل، جام گل اکثراً زردرنگ و نیام غالباً دوحجره‌ای است (Podlech & Zarre, 2013). این بخش در ایران دو گونه دارد (Maassoumi, 2016). اهداف این مطالعه ارزیابی تک‌تباری و

بوده است، نتیجه آزمون ILD به منظور ترکیب داده‌های nrDNA ITS و  $rpl32-trnL^{UAG}$  با مقدار ( $P=0.11$ ) به معنای سازگاری جهت ترکیب داده‌ها مطابقت داشت. بنابراین ماتریس ترکیبی داده‌های nrDNA ITS و  $rpl32-trnL^{UAG}$  تهیه شد. تجزیه و تحلیل مجموعه داده‌های ترکیبی با ۲۰ گونه؛ ۱۶۲۹ جایگاه نوکلئوتیدی، دارای ۸۶ جایگاه نوکلئوتیدی اطلاعاتی و ۲۲۷ جایگاه نوکلئوتیدی متغیر منجر به کوتاه‌ترین درخت با طول ۱۳۶ گام، شاخص سازگاری ۰/۷۳۵ و شاخص گروه‌پذیری ۰/۸۷۱ شد. درخت ترکیبی بازسازی‌شده با روش بی‌زین (شکل ۱ C) دو کلاد با حمایت بالا (PP) را نشان داد که شامل کلاد در برگ‌رنده گونه‌های بخشه *Aegacantha* با حمایت (PP=0.99) و کلاد دوم شامل گونه‌های بخشه *Acanthophaece* به همراه دیگر آرایه‌های گون خاردار (PP=1.00) است. در کلاد دوم گونه *A. cryptocarpus* DC. در کنار زیر کلادی با حمایت (PP=0.92) شامل گونه‌های *A. cystosus* و *A. sclerocladus* Bunge *lycioides* Boiss. Zarre & Podlech قرار دارد و سپس روابط تبارزایی حل نشده گونه‌های *A. horridus*، *A. stenostegius* Boiss. & Hausskn و *A. hezarensis* Boiss. گونه *A. ovigerus* از بخشه *Acanthophaece* با یک شاخه بلند در موقعیت قاعده‌ای زیر کلاد بعدی با حمایت (PP=0.96) شامل نمایندگان سایر بخشه‌های گون خاردار قرار دارد.

گونه *A. montis-parrowii* متعلق به بخشه *Aegacantha* در فاصله دور از سایر گونه‌های این بخشه در کنار گونه‌های دیگر خاردار در کلاد دوم قرار گرفته است (شکل ۱).

#### داده‌های ریخت‌شناسی

داده‌های آماری درخت با استفاده از داده‌های حاصل از ماتریس صفات ریخت‌شناسی عبارتند از درختی به طول ۱۵۷ گام، شاخص سازگاری ۰/۲۹ و شاخص گروه‌پذیری ۰/۳۷ بالاترین شاخص سازگاری مربوط به صفات ۲۵ و ( $ci=1.00$ ) و ( $ci=0.66$ ) و سپس صفات شماره ۸، ۱۳، ۲۰، ۲۸ و ۲۴ کم‌ترین جورنمایی بودند. صفات شماره ۵، ۶، ۱۱، ۲۵، ۳۱ و ۳۲ سازگاری کمتری نسبت به سایر صفات نشان دادند که در آن  $ci=0.33$  بود. کمترین میزان مربوط به صفت تراکم کرک در برگ جوان (صفات شماره ۷ و ۱۴) و سپس مربوط به صفات شماره ۳، ۴، ۱۴، ۱۶، ۱۷، ۲۲، ۲۹ و ۳۰ با شاخص سازگاری ۰/۱۶ بود. هفت صفت شامل شماره‌های ۴، ۵، ۷، ۱۵، ۱۶، ۲۰ و ۲۲ با شاخص گروه‌پذیری صفر، سطح بالای جورنمایی و صفت وجود دم گل‌آذین (صفت شماره ۱۳) و شکل پهنک درفش (صفت شماره ۲۵) با شاخص گروه‌پذیری به ترتیب ۰/۸ و ۱/۰۰، سطح جورنمایی پایین را در گونه‌های مورد مطالعه نشان دادند.

با مطالعه مقالات و مشاهده نمونه‌های هرباریومی مختلف، صفات و حالات صفات که در تعریف آرایه‌شناختی گونه‌های مورد مطالعه بیش‌ترین ارزش تشخیصی را داشتند، تعیین و کدگذاری شدند (Maassoumi, 1995; Podlech, 1999; Zarre-Mobarakeh, 2000; Maassoumi, 2005, 2016; Podlech & Zarre, 2013). حالت‌های صفات با ارزش‌گذاری عددی به صورت نامرتب کدگذاری شدند (یعنی تغییر از یک حالت به حالت دیگر یک گام است). ارزش‌های داده شده به حالت‌های مختلف صفات، هیچ‌گونه برتری به یکدیگر نداشتند و نیایی یا پیشرفته بودن آنها تنها پس از مکان‌گذاری در قالب تبارزایی مشخص شدند. قطبیت صفات با توجه به روش برون‌گروه مشخص شد (Maddison et al., 1984). در این روش، اگر حالت صفتی در برون‌گروه مشاهده شود، برای آن عدد صفر و برای حالت متقابل عدد یک در نظر گرفته شد. نهایتاً ماتریس داده‌های ریخت‌شناختی کدگذاری شده ذیل بر روی درخت حاصل از استنباط بی‌زین با روش Likelihood و بر اساس مدل Mk1 (مدل یک پارامتری مارکوو) در نرم افزار Mesquite v. 3.04 (Maddison & Maddison, 2015) مکان‌گذاری شد. صفات فرم رویشی، تراکم شاخه‌ها در قاعده گیاه، وجود کرک در گوشوارک، تعداد جفت برگچه‌ها، شکل برگچه، پراکندگی کرک در برگچه‌های جوان، وجود کرک در سطح فوقانی برگچه، شکل رأس برگچه، وجود گل‌هایی با کرک‌های مخلوط سیاه و سفید، تراکم گل در گل‌آذین، تعداد گل‌های موجود در گل‌آذین، تکامل دم گل‌آذین، طول دم گل‌آذین (سانتی‌متر)، پراکندگی کرک در برگه (براکته)، وجود برگک (براکتول) در قاعده کاسه، شکل برگک، شکل دندانه‌های کاسه، وجود کرک در گلبرگ، رنگ پهنک گلبرگ، طول درفش، شکل ویولونی در درفش، تمایز درفش به ناخنک، شکل پهنک درفش، وجود فشردگی در پهنک درفش، شکل درفش در قاعده، شکل ناخنک درفش، طول بال در مقایسه با طول درفش، طول ناو در مقایسه با طول بال، شکل نیام و تعداد حجره نیام در این پژوهش مورد بررسی قرار گرفته است. صفات، حالت صفات و کدهای مربوط به ماتریس داده‌های ریخت‌شناختی در جدول های ۲ و ۳ مشخص شده است.

#### نتایج

##### داده‌های تبارزایی

علی‌رغم مشاهده بصری ناسازگاری درخت هسته‌ای nrDNA ITS (شکل ۱ A) با درخت کلروپلاستی  $rpl32-trnL^{UAG}$  (شکل ۱ B) که به دلیل موقعیت متفاوت گونه *A. ovigerus*

درفش (صفت شماره ۲۶) با موقعیت کلادهای کوچک در درخت تبارزایی بخشه *Acanthopance* مطابقت دارد. حالات صفات گوشوارک کرک‌دار، نسبت طول به عرض برگچه‌ها و برگچه‌هایی با رأس منفرجه تا حاشیه‌دار (حالت صفت شماره ۹) در کلاد کوچک بخشه *Acanthopance* شامل گونه‌های *A. lycioides*، *A. sclerocladus* و *A. cystosus* مشاهده شد. رنگ کرک در گونه‌های متعلق به بخشه *Acanthopance* مخلوط سفید و سیاه است به جز کرک‌های موجود در گونه *A. sclerocladus* که منحصراً سفید می‌باشد (حالت صفت شماره ۱۰). گل آذین خوشه با ۲-۳ گل (صفت شماره ۱۲) فقط در گونه‌های *A. ovigerus* و *A. hezarensis* مشاهده می‌شود. در تمام گونه‌های بخشه *Acanthopance* شکل دندانه‌های کاسه به صورت نوک‌تیز تا نوک‌تیز با پایه مثلی (حالت صفت شماره ۱۹) و طول درفش حداقل ۱۲ میلی‌متر (حالت صفت شماره ۲۲) است به استثنای گونه‌های *A. horridus* و *A. stenostegius* که در آن شکل دندانه‌های کاسه رشته‌ای تا خطی با طول درفش حداکثر تا ۱۴-۱۵ میلی‌متر هستند.

از ۳۲ صفت ریخت‌شناسی مورد مطالعه، تنها مکان‌گذاری پنج صفت دقیقاً مطابق با روابط تبارزایی گونه‌های بخشه *Acanthopance* در درخت مولکولی ترکیبی آنها است. این صفات عبارتند از: شکل برگچه‌ها (صفت شماره ۶)، شکل پهنک درفش (صفت شماره ۲۵)، وجود فشردگی در درفش (صفت شماره ۲۶)، شکل درفش در قاعده (صفت شماره ۲۷) و شکل نیام (صفت شماره ۳۱). نتایج تجزیه و تحلیل تکامل صفات بر اساس صفات وجود دم گل آذین، شکل پهنک درفش، فشردگی در درفش، شکل درفش در قاعده و شکل نیام جدایی بخشه‌های *Acanthopance* و *Aegacantha* در درخت تبارزایی ترکیبی تایید می‌کند. مقادیر *ci* (شاخص سازگاری) و *ri* (شاخص گروه‌پذیری)، صفات، حالت صفت و تعداد تغییرات برای هر صفت در جدول ۲ نشان داده شده است.

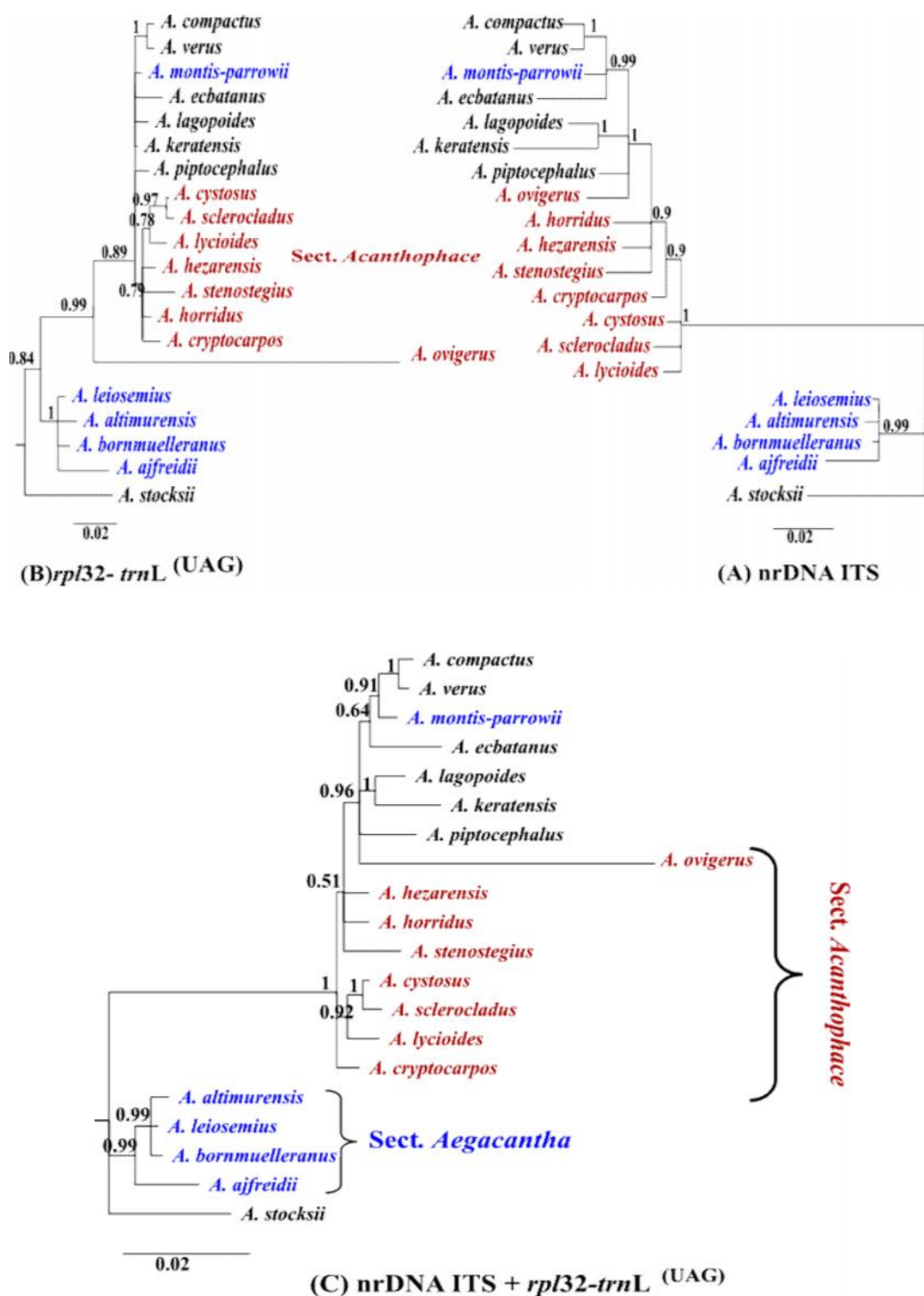
### بخشه *Acanthopance*

مکان‌گذاری صفات ریخت‌شناسی شامل کرک گوشوارک (صفت شماره ۳)، شکل برگچه‌ها (صفت شماره ۶) و شکل پهنک

جدول ۱- آرایه‌های مورد مطالعه در روش استنباط بی‌زین و تجزیه و تحلیل تکامل صفات ریخت‌شناسی.

Table 1. Taxa included in the Bayesian inference and morphological character evolution analyses.

گونه‌ها	بخشه‌ها	اطلاعات هر بار بومی نمونه‌های مورد مطالعه و شماره دسترسی بانک ژن (nrDNA ITS/rpl32-trnL <sup>UAG</sup> )
<i>Astragalus stocksii</i> Benth. ex Bunge	<i>Caraganella</i>	Iran: Foroughi 10802 (TARI) (AB051966/LC426004)
<i>A. ecbatanus</i> Bunge	<i>Campylanthus</i>	Iran: Hamzehee 1513 (TARI) (LC529244/LC529286)
<i>A. lagopodioides</i> Vahl	<i>Hymenostegis</i>	Iran: Assadi & Olfat 68825 (TARI) (AB052013/LC529288)
<i>A. verus</i> Olivier	<i>Platonychium</i>	Iran: Mozaffarian & Maassoumi 47797 (TARI) (AB052023/AB908473)
<i>A. compactus</i> Lam.	<i>Rhacophorus</i>	Iran: Podlech et al. 55226 (MSB) (LC529252/LC529296)
<i>A. keratensis</i> Bunge	<i>Anthylloidei</i>	Iran: Maassoumi & Zarre 71945 (TARI) (AB908454/AB908595)
<i>A. piptocephalus</i> Boiss. & Hausskn.	<i>Polystegis</i>	Iran: Maassoumi & Mozaffarian 76763 (TARI) (AB052018/AB908522)
<i>A. cryptocarpus</i> DC.	<i>Acanthopance</i>	Turkey: Engel 108a (MSB) (LC529217/LC529257)
<i>A. cystosus</i> Zarre & Podlech	<i>Acanthopance</i>	Iran: Runemark & Sardabi 23785 (TARI) (LC529218/LC529258)
<i>A. hezarensis</i> Zarre & Podlech	<i>Acanthopance</i>	Iran: Mirtajedini 1383-7-3 (TMUH) (LC529219/LC529259)
<i>A. horridus</i> Boiss.	<i>Acanthopance</i>	Iran: Runemark & Lazari 26188 (TARI) (LC529220/LC529260)
<i>A. lycioides</i> Boiss.	<i>Acanthopance</i>	Iran: Wendelbo & Foroughi 11456 (TARI) (LC529224/LC529265)
<i>A. ovigerus</i> Boiss.	<i>Acanthopance</i>	Iran: Sardari 3107 (TARI) (LC529229/LC529269)
<i>A. sclerocladus</i> Bunge	<i>Acanthopance</i>	Iran: Zarre 69116 (TARI) (LC529231/LC529271)
<i>A. stenostegius</i> Boiss. & Hausskn.	<i>Acanthopance</i>	Iran: Assadi & Mehregan 89036 (TARI) (LC529230/LC529270)
<i>A. ajfreidii</i> Aitch. & Baker	<i>Aegacantha</i>	Afghanistan: Freitag 3623 (MSB) (LC529239/LC529281)
<i>A. altimurensis</i> I. Deml	<i>Aegacantha</i>	Afghanistan: Podlech 18531 (MSB) (LC529238/LC529280)
<i>A. bornmuelleranus</i> B. Fedtsch.	<i>Aegacantha</i>	Tadzhikistan: N. G. Kaletkina 1976/12950 (W) (LC529240/LC529282)
<i>A. leiosemius</i> (Lipsky) Popov	<i>Aegacantha</i>	Iran: Amidi & Pariab 4812 (TARI) (LC529241/LC529283)
<i>A. montis-parrowii</i> Maassoumi & Nemati	<i>Aegacantha</i>	Iran: Nemati et al. 6108 (TARI) (LC529242/LC529284)



شکل ۱- درخت اجماعی (50% majority-rule) حاصل از استنباط بیزی توالی های، A. nrDNA ITS. B. *rpl32-trnL*<sup>UAG</sup>. C. توالی های ترکیبی هسته‌ای و کلروپلاستی. مقادیر احتمال پسین در شاخه‌ها مشخص شده است.

Fig. 1. The 50% majority-rule consensus trees inferred from Bayesian analysis using, A. nrDNA ITS. B. *rpl32-trnL*<sup>UAG</sup>. C. combined datasets. Posterior probability (PP) values are depicted on the branches.



تر از درفش (حالت صفت شماره ۲۹) در گونه *A. altimurensis* I. Deml تکامل یافته است. صفات کرک برگچه (صفت شماره ۷)، شکل راس برگچه (صفت شماره ۹)، شکل دندان‌های کاسه (صفت شماره ۱۹) در این بخشه یکنواخت نبودند.

گونه *A. montis-parrowii* با دیگر اعضای بخشه *Aegacantha* در صفات زیر تفاوت داشته است: تعداد گل در گل‌آذین (صفت شماره ۱۲)، وجود دم گل‌آذین (صفت شماره ۱۳)، کرک در گلبرگ (صفت شماره ۲۰)، شکل ویولونی درفش (صفت شماره ۲۳)، تمایز درفش به ناخنک (صفت شماره ۲۴)، فشردگی در درفش (صفت شماره ۲۶)، شکل ناخنک درفش (صفت شماره ۲۸) و مقایسه طول ناو و بال (صفت شماره ۳۰).

صفات مکان‌گذاری شده بر روی درخت بیزین حاصل از مجموعه داده‌های ترکیبی هسته‌ای و کلروپلاستی در شکل‌های A-H ۲ ارائه شده‌اند. الگوهای جورنمایی با استفاده از رنگ‌های مختلف نشان داده شده است.

### بحث

گونه *A. ovigerus* (= *A. lamprocarpus* Maassoumi) در موارد بسیاری متعلق به بخشه *Acanthoplace* در نظر گرفته شده است (Zarre & Podlech, 2001; Podlech et al., 2001; Podlech & Zarre, 2013). ایران (Maassoumi, 2016) آن را در بخشه *Lamprocarpa* قرار داده است. در این پژوهش، تجزیه و تحلیل‌های تبارزایی و تکامل صفات جدایی گونه *A. ovigerus* از بخشه *Acanthoplace* را تایید می‌کند. این گونه در هر سه درخت تبارزایی حاصل از تجزیه و تحلیل داده‌های ITS nrDNA و  $rpl32-trnL^{UAG}$  (شکل‌های ۱ A-C) در موقعیت خارج از کلاد *Acanthoplace* قرار گرفته است موقعیت تبارزایی این گونه بر اساس توالی کلروپلاستی  $trnS^{GCU}$ - $trnG^{UCC}$  نیز در خارج از کلاد *Acanthoplace* است (Khalili et al., 2020). مقایسه طول شاخه گونه *A. ovigerus* در دو درخت تبارزایی هسته‌ای و کلروپلاستی (شکل‌های ۱ A، B)، همچنین موقعیت متفاوت آن در درختان تبارزایی به طوری که در درختان تبارزایی حاصل از داده‌های هسته‌ای (شکل ۱ A) و ترکیبی (شکل ۱ C) در داخل کلاد بزرگ گون‌های خاردار قرار گرفته است و در درخت تبارزایی کلروپلاستی (شکل ۱ B) با شاخه بلند و حمایت بالا (PP=0.99) به صورت آرایه خواهر کلاد بزرگ گون‌های خاردار بازسازی شده است، می‌تواند حاکی از رویداد اخذ کلروپلاستی (Chloroplast capture) در گونه مذکور باشد. گونه *A. montis-parrowii* متعلق به بخشه *Aegacantha*

...وجود برگک در قاعده کاسه (حالت صفت شماره ۱۷) با شکل نوک تیز تا خطی (حالت صفت شماره ۱۸) به جز در گونه‌های *A. stenostegius* و *A. horridus cryptocarpos* دارد. حالت صفت گلبرگ بدون کرک (حالت صفت شماره ۲۰) نیایی بوده که به حالت صفت گلبرگ کرک‌دار در گونه *A. cystosus* تکامل یافته است. رنگ پهنک گلبرگ (صفت شماره ۲۱) به طور عمده صورتی تا قرمز و آبی بوده به جز در گونه *A. hezarenis* که رنگ گلبرگ سفید نیایی در آن حفظ شده است. شکل نیام (صفت شماره ۳۱) از حالت ابتدایی مستطیلی-بیضی به تخم‌مرغی فقط در *A. ovigerus* تکامل یافته است (شکل ۲ H). بررسی صفات مورد مطالعه نشان داده است که بخشه *Acanthoplace* چندین حالت صفت نیایی را حفظ کرده است در حالی که در برخی صفات دیگر به حالت تکامل یافته تغییر یافته است، همچنین برخی از صفات هیچ یکنواختی را نشان ندادند و یا برای گونه‌های خاص منحصر به فرد بودند و یا سطح بالایی از جورنمایی را نشان می‌دادند.

### بخشه *Aegacantha*

از بین صفات مورد بررسی، صفات فرم رویشی (صفت شماره ۱)، تراکم شاخه‌ها در قاعده گیاه (صفت شماره ۲)، گل‌هایی با کرک‌های مخلوط سیاه و سفید (صفت شماره ۱۰)، تعداد گل در گل‌آذین (صفت شماره ۱۲)، وجود دم گل‌آذین (صفت شماره ۱۳)، شکل برگه (صفت شماره ۱۵)، رنگ پهنک درفش (صفت شماره ۲۱)، شکل ویولونی در درفش (صفت شماره ۲۳)، شکل پهنک درفش (صفت شماره ۲۵)، فشردگی در درفش (صفت شماره ۲۶)، شکل درفش در قاعده (صفت شماره ۲۷)، شکل ناخنک در درفش (صفت شماره ۲۸) و مقایسه طول ناو و بال (صفت شماره ۳۰) یکنواختی را در این بخشه نشان می‌دهند. گوشوارک کرک‌دار (حالت صفت شماره ۳) و شکل نیام تخم‌مرغی (حالت صفت شماره ۳۱) به جز در گونه‌های *A. montis-parrowii* و *leiosemius* (Lipsky) Popov. حالت‌های متداول صفات در گونه‌های مورد مطالعه این بخشه بودند. حالت صفات تعداد برگچه تا پنج جفت (صفت شماره ۵) فقط در گونه *A. affreidii* تکامل یافته است. شکل برگچه‌ها بجز در گونه *A. bornmuellerianus* B.Fedtsch که واژتخم‌مرغی بوده (حالت صفت شماره ۶) در بقیه شکل باریک‌شونده (نسبت طول به عرض برگچه بیشتر از ۲) داشته است. برگچه‌های جوان دارای کرک در سطح فوقانی (حالت صفت شماره ۸) فقط در گونه‌های *A. montis-parrowii* و *A. affreidii* تکامل یافته است. حالت‌های صفت شامل طول درفش حد اکثر تا ۱۴-۱۵ میلی‌متر (حالت صفت شماره ۲۲) و طول بال تا یک میلی‌متر کوتاه

**جدول ۲-** مقادیر  $ci$ : شاخص سازگاری و  $ri$ : شاخص گروه‌پذیری، صفات، حالت صفت و تعداد تغییرات برای هر صفت در گونه‌های مورد مطالعه.

**Table 2.** The values of the  $ci$ : consistency index,  $ri$ : retention index, characters, states and number of changes for each attribute in studied species.

شماره	صفت	حالت صفت	تعداد گام	شاخص سازگاری	شاخص گروه‌پذیری
۱	فرم رویشی	(۰) نیمه درختچه‌ای، (۱) درختچه‌ای کوتاه	۵	۰/۲	۰/۵
۲	تراکم شاخه‌ها در قاعده گیاه	(۰) متراکم، (۱) غیر متراکم، (۲) متراکم یا غیر متراکم	۷	۰/۲۸	۰/۱۶
۳	کرک گوشوارک	(۰) وجود دارد، (۱) زود یا دیر بی کرک شونده	۶	۰/۱۶	۰/۳۷
۴	اندازه خار انتهایی برگ	(۰) کوتاه تا ۱/۱ اندازه راسی‌ترین برگچه، (۱) بیشتر از ۱/۱ راسی‌ترین برگچه	۶	۰/۱۶	۰
۵	تعداد جفت برگچه‌ها	(۰) تا پنج جفت، (۱) بیشتر از پنج جفت	۳	۰/۳۳	۰
۶	شکل برگچه	(۰) غیر باریک شونده (نسبت طول به عرض > ۲)، (۱) باریک شونده (نسبت طول به عرض < ۲)	۳	۰/۳۳	۰/۵
۷	پراکندگی کرک در برگچه جوان	(۰) در هر دو سطح یا یک سطح کرک‌دار یا اغلب کرک‌دار، (۱) در هر دو سطح برگ بی کرک تا اغلب بی کرک یا دارای کرک پراکنده و تنک در یک سطح	۷	۰/۱۴	۰
۸	وجود کرک در سطح فوقانی برگچه جوان	(۰) کرک‌دار یا اغلب کرک‌دار، (۱) بی کرک یا اغلب بی کرک	۷	۰/۱۴	۰/۲۵
۹	شکل راس برگچه	(۰) گرد تا منفرجه، (۱) منفرجه تا حاشیه‌دار، (۲) نوک تیز تا منفرجه، (۳) گرد تا نوک تیز، (۴) نوک تیز، تا حدی نوک تیز تا نوک تیز شونده	۹	۰/۴۴	۰/۴۴
۱۰	گل با کرک مخلوط سیاه و سفید	(۰) دارد، (۱) ندارد	۵	۰/۲	۰/۵
۱۱	تراکم گل آذین	(۰) غیر متراکم و پراکنده در طول ساقه، (۱) متراکم	۳	۰/۳۳	۰/۳۳
۱۲	تعداد گل در گل آذین	(۰) همه یا اغلب دارای خوشه‌های جانبی با بیشتر از ۲-۳ گل، (۱) همه یا اغلب دارای خوشه‌های جانبی با ۲-۳ گل یا اغلب یک گل	۴	۰/۲۵	۰/۵
۱۳	تکامل دم گل آذین	(۰) دارای دم گل آذین، (۱) گل آذین سست بدون دم گل آذین	۲	۰/۵	۰/۸
۱۴	طول دم گل آذین (سانتی متر)	(۰) بیشتر از ۱٫۵ سانتی‌متر، (۱) بدون دم گل آذین یا دم گل آذین کوتاه به طول تا ۱٫۵ سانتی‌متر	۶	۰/۱۶	۰/۲۸
۱۵	شکل برگه	(۰) غیر باریک شونده، (۱) باریک شونده	۵	۰/۲	۰
۱۶	کرک در برگه	(۰) دارای کرک یا اغلب بیشتر از نصف سطح دارای کرک، (۱) همه تا اغلب بی کرک یا دارای کرک تنک یا فقط در قسمت‌های کوچک دارای کرک	۶	۰/۱۶	۰
۱۷	وجود برگک در قاعده کاسه	(۰) همیشه یا به ندرت وجود دارد، (۱) هرگز وجود ندارد	۵	۰/۱۶	۰/۲۸
۱۸	شکل برگک	(۰) خطی، (۱) رشته‌ای، (۲) تخم‌مرغی باریک شونده، (۳) وجود ندارد	۶	۰/۵	۰/۴
۱۹	شکل دندان کاسه	(۰) نوک تیز تا نوک تیز با قاعده مثلثی، (۱) رشته‌ای تا خطی، (۲) مثلثی باریک شونده تا نوک تیز شونده	۵	۰/۴	۰/۲۵
۲۰	درفش کرک‌دار	(۰) ندارد، (۱) دارد	۲	۰/۵	۰
۲۱	رنگ پهنک درفش	(۰) همه یا اغلب سفید یا زرد، (۱) همه یا اغلب صورتی،	۷	۰/۲۸	۰/۵

		قرمز یا آبی و بنفش، (۲) دارای هر دو طیف رنگ ۱ و ۲			
۲۲	طول درفش	(۰) حداکثر ۱۵ میلیمتر، (۱) حداقل ۱۲ میلیمتر	۶	۰/۱۶	۰
۲۳	شکل ویولونی درفش	(۰) وجود ندارد، (۱) وجود دارد	۵	۰/۲	۰/۵
۲۴	تمایز درفش به ناخنک	(۰) پهنک تدریجاً باریک شونده به سمت ناخنک، (۱) پهنک به طور مشخص متمایز از ناخنک، (۲) هر دو شکل ۱ و ۲ با غالبیت یکی از اشکال	۴	۰/۶۶	۰/۶۶
۲۵	شکل پهنک درفش	(۰) تخم‌مرغی تا واژ تخم‌مرغی، (۱) واژ تخم‌مرغی تا-بیضوی گاهی زاویه دار	۱	۱	۱
۲۶	وجود فشردگی در پهنک	(۰) دارد، (۱) ندارد.	۴	۰/۲۵	۰/۵
۲۷	شکل قاعده درفش	(۰) باریک شونده به سمت ناخنک، (۱) هم عرض، باریک‌تر یا پهن‌تر از قسمت بالایی درفش	۵	۰/۴۵	۰/۵۷
۲۸	وجود ناخنک درفش	(۰) بدون ناخنک متمایز، (۱) به صورت پهن تا گوه‌ای باریک شونده وجود دارد	۳	۰/۵	۰/۶۶
۲۹	مقایسه طول بال با درفش	(۰) بال هم طول یا حداکثر تا یک میلی‌متر کوتاه‌تر از طول درفش، (۱) بیش‌تر از یک میلی‌متر کوتاه‌تر از طول درفش	۶	۰/۱۶	۰/۴۴
۳۰	مقایسه طول ناو با بال	(۰) بال هم طول یا حداکثر تا یک میلی‌متر کوتاه‌تر از طول بال، (۱) بیش‌تر از یک میلی‌متر کوتاه‌تر از طول بال	۶	۰/۱۶	۰/۱۶
۳۱	شکل نیام	(۰) بیضوی-مستطیلی، (۱) تخم‌مرغی	۶	۰/۳۳	۰/۳۳
۳۲	تعداد حجره نیام	(۰) دو حجره، (۱) تک حجره	۳	۰/۳۳	۰/۷۷

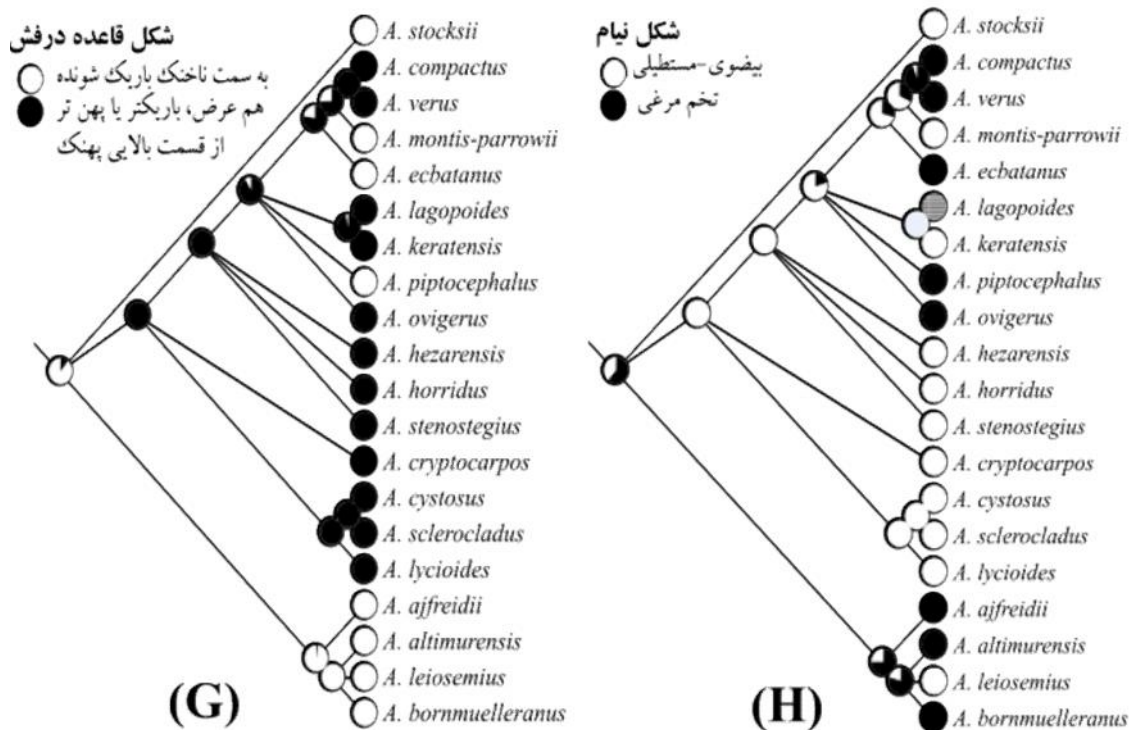
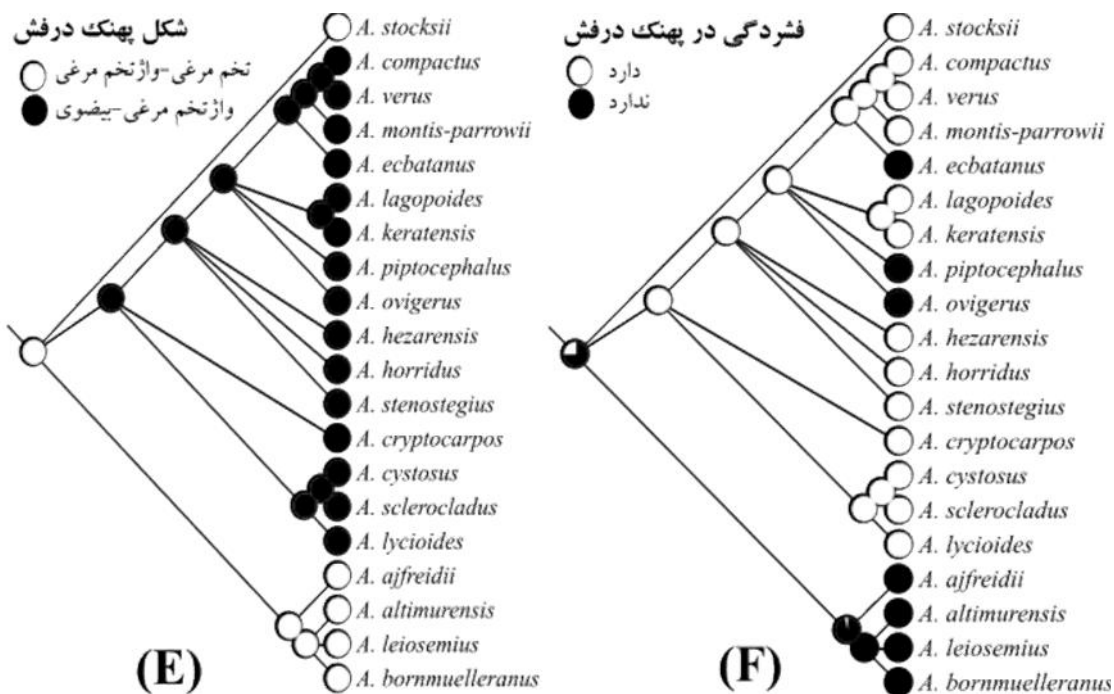
جدول ۳- ماتریس صفات مورد استفاده در بررسی روند تکامل صفات ریخت‌شناختی گونه‌های مورد مطالعه. N: حالت صفت نامشخص

Table 3. Morphological character binary matrix used in the ancestral reconstruction. N: unknown character state.

Species	Traits	1	2	3	4	5	6	7	8	9	10	11	12	13	14	15	16	17	18	19	20	21	22	23	24	25	26	27	28	29	30	31	32		
<i>A. stockii</i>		0	0	0	0	0	0	0	0	0	0	0	0	0	0	0	0	0	0	0	0	0	0	0	0	0	0	0	0	0	0	0	0	0	0
<i>A. ecbatanus</i>		1	2	0	1	1	1	1	3	1	0	0	0	1	0	0	0	2	0	0	0	0	0	0	0	1	0	0	0	0	0	1	1		
<i>A. lagopoides</i>		0	1	1	0	1	0	0	4	1	1	0	0	0	1	0	1	3	0	0	2	1	1	1	0	0	1	1	0	0	N	1			
<i>A. varus</i>		0	2	1	1	1	0	0	4	1	0	1	1	1	1	1	3	1	0	2	0	1	2	0	0	0	1	1	0	0	1	1			
<i>A. compositus</i>		1	1	1	0	1	0	0	4	1	1	0	1	1	1	0	1	3	1	0	0	1	1	1	0	0	1	1	0	1	1	1			
<i>A. murilis-purrowii</i>		1	0	1	N	1	1	1	0	4	1	0	0	0	0	N	1	1	3	N	1	0	1	1	1	0	0	0	1	1	0	0	1		
<i>A. leiouminus</i>		1	0	1	N	1	1	0	1	4	1	0	1	1	0	1	N	1	3	0	0	0	1	0	0	0	1	0	0	1	1	0	0		
<i>A. hezarensis</i>		0	1	1	0	1	1	1	3	0	0	1	0	1	1	0	0	0	0	0	0	0	1	0	0	1	0	1	0	1	1	0	1		
<i>A. heratensis</i>		1	0	1	1	1	0	0	3	0	1	0	0	0	1	0	0	1	0	0	1	1	1	1	0	0	1	0	0	1	0	1			
<i>A. piptocephalus</i>		0	2	0	1	1	0	1	2	1	1	0	0	1	0	0	1	0	1	3	0	0	1	1	0	0	0	1	0	0	0	0	1	1	
<i>A. lycioides</i>		0	0	0	1	1	0	0	1	1	0	0	0	0	0	1	1	0	0	0	0	1	1	0	0	1	0	1	0	1	1	0	0		
<i>A. cystosus</i>		0	0	0	1	1	0	0	0	1	0	0	0	0	0	1	0	0	0	0	0	1	1	1	1	0	1	0	1	0	0	1	0	0	
<i>A. sclerocladus</i>		0	0	0	1	1	0	1	0	1	1	0	0	0	1	0	0	0	0	0	0	0	1	1	1	0	1	0	1	0	0	1	0	0	
<i>A. horridus</i>		0	2	1	1	1	1	0	1	2	0	0	0	0	1	0	0	1	3	1	0	1	0	1	0	1	0	1	0	1	0	0	0	0	
<i>A. stansstegius</i>		0	?	1	1	1	1	0	0	3	0	0	0	1	1	0	1	3	1	0	1	0	1	0	1	0	1	0	1	0	1	1	0	0	
<i>A. cryptocarpus</i>		1	0	1	0	1	1	1	2	0	0	0	0	1	1	1	1	3	0	0	0	1	0	0	1	0	1	0	1	0	1	1	0	0	
<i>A. altinuseensis</i>		1	0	N	1	1	1	0	1	2	1	0	1	1	N	1	0	1	3	2	0	0	0	0	0	0	0	1	0	0	0	1	1	0	
<i>A. affreidii</i>		1	0	0	1	0	1	0	N	1	0	1	1	N	1	1	N	N	2	0	0	1	0	0	0	1	0	0	1	1	1	1	1		
<i>A. bornmuelleranus</i>		1	0	0	1	1	0	1	1	N	1	0	1	1	N	1	1	N	N	0	0	1	1	0	0	0	1	0	0	1	1	1	0	0	
<i>A. ovigerus</i>		0	0	0	0	1	1	0	0	1	0	0	1	0	0	1	0	0	0	0	0	0	1	0	0	1	1	1	0	1	1	1	1	1	

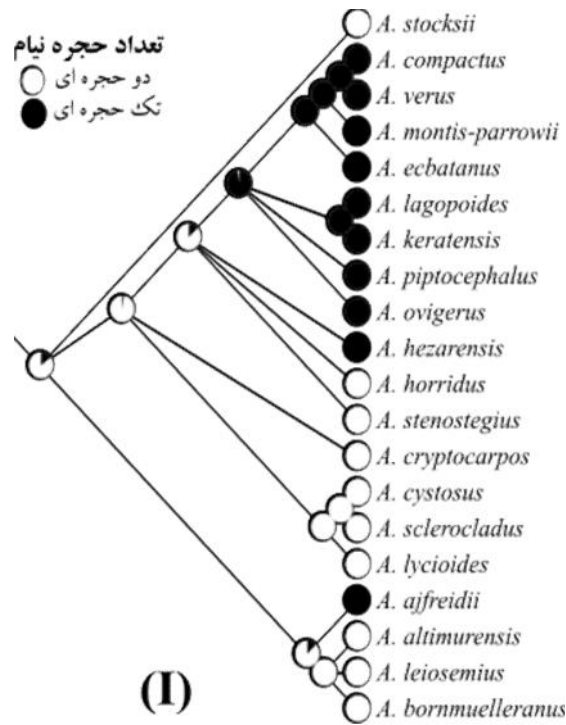






شکل ۲- ادامه.

Fig. 2. Continued.



شکل ۲- ادامه.

Fig. 2. Continued.

(صفت شماره ۲۴)، شکل نیام (صفت شماره ۳۱) و تعداد حجره در نیام (صفت شماره ۳۲) در رده‌بندی‌های گذشته نیز مورد استفاده قرار گرفته‌اند (Maassoumi, 2005, 2016; Podlech & Zarre, 2013). بیشتر ویژگی‌های ریخت‌شناسی مورد استفاده در تعیین حدود بخش‌ها در گونه‌های خاردار میزان بالای جورنمایی را نشان می‌دهند (Zarre-Mobarakeh, 2000). تجزیه و تحلیل داده‌ها در این مطالعه نشان داد که تنها تعداد معدودی از صفات مورد مطالعه نشانگر صفات مشترک بخشه *Acanthophaea* بوده که منطبق با درخت تبارزایی آنها است. بیشتر صفات در گروه مورد مطالعه چندین بار واگرا شدند. در تلاش حاضر، صفات زیر شاخص سازگاری نسبتاً کم دارند (۱۴/۲۵-۰/۰) که نشان دهنده سطح بالایی از یکنواختی و جورنمایی است: فرم رویشی (صفت شماره ۱)، وجود کرک در گوشوارک (صفت شماره ۳)، اندازه خار انتهایی برگ (صفت شماره ۴)، وجود کرک در برگچه جوان (صفت‌های شماره ۷ و ۸)، گل‌ها با کرک مخلوط سیاه و سفید (صفت شماره ۱۰)، تعداد گل در گل‌آذین (صفت شماره ۱۲)، طول دم گل‌آذین (صفت شماره ۱۴)، وجود کرک در برگه (صفت شماره ۱۶)، وجود برگک در قاعده کاسه (صفت شماره ۱۷)، طول درفش (صفت شماره ۲۲)، شکل ویولونی درفش (صفت شماره ۲۳)، وجود فشردگی در

در تجزیه و تحلیل تبارزایی داده‌های ITS nrDNA و *rpl32* و *trnL*<sup>UAG</sup> در فاصله دور از اعضای این بخشه در کلادی همراه با اعضای دیگر گونه‌های خاردار قرار گرفته است. نتیجه اخیر در تجزیه و تحلیل موقعیت تبارزایی گونه *A. montis-parrowii* بر اساس توالی کلروپلاستی *trnS*<sup>(GCU)</sup>-*trnG*<sup>(UCC)</sup> نیز بازسازی شده است (Khalili et al., 2020).

#### تکامل صفات ریخت‌شناسی

از آنجایی که تعداد حالت‌های صفت مورد بررسی در هر صفت محدود است، شاخص‌های CI و FI صفات کاهش می‌یابد و از طرف دیگر مقادیر کم اندازه گیری شده شاخص‌های آماری برای صفات ریخت‌شناسی نشان‌دهنده درجه‌ای از یکنواختی در صفات ریخت‌شناسی است (Sanderson & Dounogue, 1989; Sanderson & Hufford, 1996).

از آنجایی که مکان‌گذاری روند تکامل صفاتی با جورنمایی زیاد و تعداد کم صفات مشترک پیشرفته (سین آپومورف) بسیار دشوار است، در این مطالعه صفاتی انتخاب شده‌اند که در مقالات و منابع مختلف به عنوان صفات مفید با قابلیت دسترسی آسان و همچنین نمایانگر سطح پایین جورنمایی بوده‌اند. صفات کرک مخلوط سیاه و سفید (صفت شماره ۱۰)، تعداد گل‌های موجود در گل‌آذین (صفت شماره ۱۲)، درفش متمایز شونده به ناخنک

مشترک بخشه *Acanthophaece* است درحالی که شکل تخم‌مرغی تا واژ تخم‌مرغی پهنک به عنوان حالت مشترک در درون بخشه *Aegacantha* (به جز گونه *A. montis-parrowii*) مکان‌گذاری شد (شکل ۲ E).

وجود فشردگی در پهنک درفش (صفت شماره ۲۶): تکامل پهنک دارای فشردگی به عنوان حالت صفت مشترک بخشه *Acanthophaece* (به جز در گونه *A. ovigerus*) و پهنک بدون فشردگی در بخشه *Aegacantha* (به جز گونه *A. montis-parrowii*) مکان‌گذاری شده است (شکل ۲ F).

شکل قاعده درفش (صفت شماره ۲۷): قاعده پهنک هم عرض، باریک تر یا پهن تر از قسمت فوقانی پهنک، حالت صفت مشترک برای بخشه *Acanthophaece* بوده درحالی که قاعده پهنک باریک شونده به ناخنک به عنوان حالت صفت مشترک برای بخشه *Aegacantha* در نظر گرفته شده است. در کل گون‌های خار دار مورد بررسی حالت صفت پیشرفته پهنک درفش هم عرض، باریکتر یا پهن تر از قسمت بالایی درفش چندین بار تکامل یافته است (شکل ۲ G).

شکل نیام (صفت شماره ۳۱): شکل مستطیلی-بیضوی نیام در بخشه *Acanthophaece* به عنوان حالت صفت مشترک (به جز در گونه *A. ovigerus*) و در گونه‌های متعلق به بخشه *Aegacantha* شکل تخم‌مرغی نیام حالت صفت مشترک (به جز گونه *A. leiosemius* و گونه *A. montis-parrowii*) مکان‌گذاری شدند و این در حالی است که در گون‌های خاردار مورد بررسی حالت پیشرفته صفت (شکل نیام بیضوی-مستطیلی) چندین بار تکامل یافته است (شکل ۲ H).

تعداد حجره نیام (صفت شماره ۳۲): حالت صفت نیام دو حجره‌ای در بخشه *Acanthophaece* به جز گونه‌های *A. ovigerus* و *A. hezarensis* و در بخشه *Aegacantha* (به جز گونه *A. ajfreidii*) تکامل یافته است. در بقیه گونه‌های گون خاردار مورد بررسی حالت صفت نیام تک حجره‌ای مکان‌گذاری شده است (شکل ۲ I).

### نتیجه گیری

در مطالعه حاضر ارزش چندین صفت ریخت‌شناسی اصلاح شده است. اکثر صفات ریخت‌شناسی که در تعیین حدود بخشه‌ها مورد استفاده قرار گرفته‌اند، میزان بالای جورنمایی را نشان می‌دهند. در این پژوهش چندین صفت مانند شکل برگچه، تکامل دم گل آذین، تعداد گل در گل آذین، رنگ گلبرگ، شکل پهنک درفش، فشردگی در درفش، شکل درفش در قاعده و شکل نیام برای تعیین حدود آرایه‌ها در بخشه‌های *Acanthophaece* و *Aegacantha* ارزشمند می‌باشد. بازسازی این صفات با نتایج

درفش (صفت شماره ۲۶)، مقایسه طول بال و درفش (صفت شماره ۲۹) و مقایسه طول ناو و بال (صفت شماره ۳۰). روند تکامل صفاتی که جورنمایی کمتری را نشان می‌دهند در زیر مورد بحث قرار گرفته است.

شکل برگچه (صفت شماره ۶): دو کلاد کوچک موجود در درخت تبارزایی بخشه *Acanthophaece* دقیقاً با مکان‌گذاری تکامل این صفت سازگار است به این معنا که کلاد اول شامل گونه‌های *A. horridus*، *stenostegius* و *A. hezarensis* و گونه *A. cryptocarpos* حالت صفت مشترک پیشرفته یعنی شکل باریک شونده برگچه‌ها (دارای نسبت طول به عرض بیشتر از ۲) را دارا می‌باشند درحالی که کلاد دوم با روابط تبارزایی حل شده گونه‌های *A. sclerocladus*، *A. cystosus* و *A. lycioides* حاکی از حالت مشترک ابتدایی یعنی شکل غیر باریک شونده برگچه‌ها (با نسبت طول به عرض کمتر از ۲) است. حالت صفت برگچه غیر باریک شونده در بخشه *Aegacantha* رایج نبود و فقط در گونه *A. bormmuellerianus* تکامل یافته است (شکل ۲ A).

تعداد گل‌ها در گل آذین (صفت شماره ۱۲): گل آذین با تعداد گل بیشتر از سه گل به عنوان حالت صفت ابتدایی در اکثر اعضای بخشه *Acanthophaece* (به جز گونه‌های *A. ovigerus* و *A. hezarensis*) با حالت صفت تعداد گل اندک تا سه گل در گل آذین وجود دارد و گل آذین با تعداد گل اندک تا سه گل به عنوان یک حالت صفت مشترک در بخشه *Aegacantha* (به جز گونه *A. montis-parrowii*) است (شکل ۲ B).

تکامل دم گل آذین (صفت شماره ۱۳): وجود دم گل آذین به عنوان یک حالت صفت مشترک در درون بخشه *Acanthophaece* و گل آذین سست بدون دم گل آذین به عنوان حالت صفت مشترک برای بخشه *Aegacantha* (به جز گونه *A. montis-parrowii*) مکان‌گذاری شده است (شکل ۲ C).

رنگ گلبرگ (صفت شماره ۲۱): این صفت در مطالعات قبل نیز مورد توجه قرار گرفته است. مکان‌گذاری این صفت اهمیت رنگ گلبرگ را به عنوان یک ویژگی تشخیصی بین بخشه‌های *Acanthophaece* و *Aegacantha* نشان داد. رنگ گلبرگ سفید تا زرد به عنوان یک صفت مشترک برای بخشه *Aegacantha* و رنگ گلبرگ صورتی تا قرمز و آبی حالت صفت مشترک در گونه‌های بخشه *Acanthophaece* (به جز گونه *A. hezarensis* با گلبرگ سفید) پیشنهاد شده است (شکل ۲ D).

شکل پهنک درفش (صفت شماره ۲۵): صفات مربوط به شکل درفش در مطالعات قبل نیز مورد اهمیت قرار گرفته است (Maassoumi, 2005, 2016; Podlech & Zarre, 2016). در این مطالعه شکل واژ تخم‌مرغی تا بیضوی پهنک حالت صفت



## REFERENCES

- Amini, E., Kazempour-Osaloo, Sh., Maassoumi, A.A. & Zare-Maivan, H.** 2019. Phylogeny, biogeography and divergence times of *Astragalus* section *Incani* DC. (Fabaceae) inferred from nrDNA ITS and plastid *rpl32-trnL*<sup>(UAG)</sup> sequences. *Nordic Journal of Botany*, 37.
- Farri, J.S., Kallersjo, M., Kluge, A.G. & Bult, C.** 1994. Testing significance of incongruence. *Cladistics* 10: 315-319.
- Ghahremaninejad, F. & Joharchi, M.R.** 2020. 840<sup>th</sup> species of genus *Astragalus* (Fabaceae) for the flora of Iran from Khorassan Province as a new record: *A. globiceps* Bunge. *J. Plant Res.* 32: 906-910.
- Khalili, Z., Ghaleynoyi, S., Maassoumi, A.A. & Kazempour-Osaloo, Sh.** 2020. Phylogenetic relationships, biogeography and taxonomic delimitation of *Astragalus* sect. *Acanthophaece* (Fabaceae) using cpDNA and nrDNA ITS sequences analyses. *Plant Biosyst.* Published online, [DOI: 10.1080/11263504.2020.1739162]
- Lock, J.M. & Simpson, K.** 1991. Legumes of west Asia, a checklist. Royal Botanical Gardens Press. Kew. 263 pp.
- Maassoumi, A.A.** 1995. The genus *Astragalus* in Iran, perennials, Vol. 3. Research Institute of Forests and Rangeland, Tehran, 502 pp.
- Maassoumi, A.A.** 1998. *Astragalus* in the Old World, a checklist. Research Institute of Forests and Rangeland, Tehran, 617 pp.
- Maassoumi, A.A.** 2005. The genus *Astragalus* in Iran, Vol. 5. Research Institute of Forests and Rangeland, Tehran, 551 pp.
- Maassoumi, A.A.** 2016. Flora of Iran, Fabaceae (*Astragalus* II), Vol. 85. Research Institute of Forests and Rangeland, Tehran, 506 pp.
- Maddison, W.P. & Maddison, D.R.** 2015. Mesquite: a modular system for evolutionary analysis. Version 3.04. Available from: <http://www.mesquiteproject.org>. [Accessed: 30 November 2019]
- Maddison, W.A., Donoghue, M.J. & Maddison, D.R.** 1984. Outgroup analysis and parsimony. *Syst. Zool.* 33: 83-103.
- Miller, M.A., Pfeiffer, W. & Schwartz, T.** 2010. Creating the CIPRES science gateway for inference of large phylogenetic trees. *In Proceedings of the Gateway Computing Environments Workshop (GCE)*. New Orleans, LA. 8 pp.
- Podlech, D., Zarre Sh. & Maassoumi, A.A.** 2001. Papilionaceae IV: *Astragalus* II. *In* Rechinger, K.H. (ed.), *Flora Iranica*, no. 175. Akademische Druck-u. Verlagsanstalt, Graz, Austria, 197 pp.
- Podlech, D.** 1999. Papilionaceae III: *Astragalus*. *In* Rechinger, K.H. (ed.), *Flora Iranica*, no. 174. Akademische Druck-u. Verlagsanstalt, Graz, Austria, 350 pp.
- Podlech, D. & Zarre, Sh. (with collaboration of Ekici, M., Maassoumi, A.A. & Sytin, A.).** 2013. A taxonomic revision of the genus *Astragalus* L. (Leguminosae) in the Old World, vols. 1-3. *Naturhist. Mus. Vienna, Austria*, 2439 pp.
- Posada, D.** 2008. JModelTest: phylogenetic model averaging. *Mol. Biol. Evol.* 25: 1253-1256.
- حاصل از داده‌های تبارزایشی همگام است. تجزیه و تحلیل‌های تبارزایشی و تکامل صفات منتج به جداسازی گونه *A. ovigerus* از بخشه *Acanthophaece* شده است. از طرف دیگر، نتایج مکان‌گذاری حالات صفات پهنک بدون فشردگی (حالت صفت شماره ۲۶) و شکل تخم‌مرغی نیام (حالت صفت شماره ۳۱)، همچنین داشتن نیام تک حجره (حالت صفت شماره ۳۲) از نظر تشخیصی برای جداسازی *A. ovigerus* از سایر گونه‌های این بخشه کافی می‌باشد. ویژگی گل‌آذین خوشه متشکل از ۲-۳ گل جانبی یا عمدتاً یک گل (حالت صفت شماره ۱۲) و نیز داشتن نیام تک حجره صفاتی بوده‌اند که (Maassoumi 2016) بر جدایی گونه‌های *A. ovigerus* و *A. hezarensis* به عنوان یک بخشه مستقل *Lamprocarpa* تاکید داشته است.
- صفات مکان‌گذاری شده که با موقعیت گونه-*A. montis parrowii* در درخت تبارزایشی بخشه *Aegacantha* منطبق است و جدایی گونه مذکور از این بخشه را تایید می‌کند عبارتند از: تعداد گل‌های گل‌آذین (صفت شماره ۱۲)، تکامل دم گل‌آذین (صفت شماره ۱۳)، گلبرگ کرک‌دار (حالت صفت شماره ۲۰)، درفش ویولونی شکل (حالت صفت شماره ۲۳)، تمایز درفش به ناخنک (حالت صفت شماره ۲۴)، وجود فشردگی در درفش (حالت صفت شماره ۲۶)، شکل ناخنک درفش (صفت شماره ۲۸) و مقایسه طول ناو و بال (صفت شماره ۳۰).

## سپاسگزاری

این مطالعه با حمایت مالی دانشگاه تربیت مدرس انجام شده است. از هرباریوم‌های TARI، MSB و W که امکانات لازم جهت مطالعه و تهیه نمونه‌های گیاهی را فراهم نموده‌اند، کمال تشکر را داریم.



- Ronquist, F., Teslenko, M., Mark, P., Ayres, D., Darling, D., Höhna, S., Larget, B., Liu, L., Suchard, M.A. & Huelsenbeck, J. 2012. MrBayes 3.2: efficient bayesian phylogenetic inference and model choice across a large model space. *Syst Biol.* 61: 539-542.
- Sanderson, M.J. & Hufford, L. 1996. Homoplasy and the evolutionary process: An afterword. In Sanderson, M.J. & Hufford, L. (eds.), *Homoplasy: the recurrence of similarity in evolution*. Academic Press, San Diego, Calif. London, pp: 271-301.
- Sanderson, M.J. & Dounogue. M.J. 1989. Patterns of variation in levels of homoplasy. *Evolution* 43: 1781-95.
- Swofford, D.L. 2002. PAUP\*: Phylogenetic Analysis Using Parsimony (\*and Other Methods), Version 4.0b10. Sunderland, Sinauer Associates. [Accessed 11 August 2019].
- Zarre, Sh. & Podlech, D. 2001. Taxonomic revision of *Astragalus* sect. *Acanthophaea* (Fabaceae). *Sendtnera* 7: 233-255.
- Zarre-Mobarakeh, Sh. 2000. Systematic revision of *Astragalus* sect. *Adiaspastus*, sect. *Macrophyllum* and sect. *Pterophorus* (Fabaceae). *Englera* 18: 219.

\*\*\*\*\*

**How to cite this article:**

Khalili, Z., Kazempour-Osaloo, Sh. & Maassoumi, A.A. 2020. Phylogeny and morphological traits evolution of *Astragalus* sects. *Acanthophaea* and *Aegacantha* in Iran on the basis of nrDNA ITS and rpl32-trnL<sup>UAG</sup> sequences. *Nova Biologica Reperta* 7: 228-241. (In Persian)

خلیلی، ز.، کاظم پور اوصالو، ش. و معصومی، ع.ا. ۱۳۹۹. تبارزایی و تکامل صفات ریخت‌شناسی بخش‌های آکانتوفاسه و اگاکانتا از سرده گون (تیره باقلاتیان) بر اساس توالی‌های هسته‌ای و کلروپلاستی در ایران. یافته‌های نوین در علوم زیستی ۷: ۲۴۱-۲۲۸.